

20 심층 생성 모형

20.1 볼츠만 기계

$$P(\boldsymbol{x}) = \frac{\exp(-E(\boldsymbol{x}))}{Z}.$$

$$E(\boldsymbol{x}) = -\boldsymbol{x}^\top \boldsymbol{U} \boldsymbol{x} - \boldsymbol{b}^\top \boldsymbol{x}.$$

$$E(\boldsymbol{v}, \boldsymbol{h}) = -\boldsymbol{v}^\top \boldsymbol{R} \boldsymbol{v} - \boldsymbol{v}^\top \boldsymbol{W} \boldsymbol{h} - \boldsymbol{h}^\top \boldsymbol{S} \boldsymbol{h} - \boldsymbol{b}^\top \boldsymbol{v} - \boldsymbol{c}^\top \boldsymbol{h}.$$

20.2 제한 볼츠만 기계

$$P(\mathbf{v}=\mathbf{v}, \mathbf{h}=\mathbf{h}) = \frac{1}{Z} \exp(-E(\mathbf{v}, \mathbf{h})).$$

$$E(\mathbf{v}, \mathbf{h}) = -\mathbf{b}^\top \mathbf{v} - \mathbf{c}^\top \mathbf{h} - \mathbf{v}^\top \mathbf{W} \mathbf{h}.$$

$$Z = \sum_{\mathbf{v}} \sum_{\mathbf{h}} \exp\{-E(\mathbf{v}, \mathbf{h})\}.$$

20.2.1 조건부 분포

$$\begin{aligned}
 P(\mathbf{h}|\mathbf{v}) &= \frac{P(\mathbf{h}, \mathbf{v})}{P(\mathbf{v})} \\
 &= \frac{1}{P(\mathbf{v})} \frac{1}{Z} \exp\{\mathbf{b}^\top \mathbf{v} + \mathbf{c}^\top \mathbf{h} + \mathbf{v}^\top \mathbf{W} \mathbf{h}\} \\
 &= \frac{1}{Z'} \exp\{\mathbf{c}^\top \mathbf{h} + \mathbf{v}^\top \mathbf{W} \mathbf{h}\} \\
 &= \frac{1}{Z'} \exp\left\{\sum_{j=1}^{n_h} c_j h_j + \sum_{j=1}^{n_h} \mathbf{v}^\top \mathbf{W}_{:,j} \mathbf{h}_j\right\} \\
 &= \frac{1}{Z'} \prod_{j=1}^{n_h} \exp\{c_j h_j + \mathbf{v}^\top \mathbf{W}_{:,j} \mathbf{h}_j\}.
 \end{aligned}$$

$$\begin{aligned}
 P(h_j = 1|\mathbf{v}) &= \frac{\tilde{P}(h_j = 1|\mathbf{v})}{\tilde{P}(h_j = 0|\mathbf{v}) + \tilde{P}(h_j = 1|\mathbf{v})} \\
 &= \frac{\exp\{c_j + \mathbf{v}^\top \mathbf{W}_{:,j}\}}{\exp\{0\} + \exp\{c_j + \mathbf{v}^\top \mathbf{W}_{:,j}\}} \\
 &= \sigma(c_j + \mathbf{v}^\top \mathbf{W}_{:,j}).
 \end{aligned}$$

$$P(\mathbf{h}|\mathbf{v}) = \prod_{j=1}^{n_h} \sigma((2\mathbf{h} - 1) \odot (\mathbf{c} + \mathbf{W}^\top \mathbf{v}))_j.$$

$$P(\mathbf{v}|\mathbf{h}) = \prod_{i=1}^{n_v} \sigma((2\mathbf{v} - 1) \odot (\mathbf{b} + \mathbf{W} \mathbf{h}))_i.$$

20.3 심층 믿음망

$$P(\mathbf{h}^{(l)}, \mathbf{h}^{(l-1)}) \propto \exp(\mathbf{b}^{(l)\top} \mathbf{h}^{(l)} + \mathbf{b}^{(l-1)\top} \mathbf{h}^{(l-1)} + \mathbf{h}^{(l-1)\top} \mathbf{W}^{(l)} \mathbf{h}^{(l)}),$$

$$P(h_i^{(k)} = 1 | \mathbf{h}^{(k+1)}) = \sigma(b_i^{(k)} + \mathbf{W}_{:,i}^{(k+1)\top} \mathbf{h}^{(k+1)}) \quad \forall i, \forall k \in 1, \dots, l-2,$$

$$P(v_i = 1 | \mathbf{h}^{(1)}) = \sigma(b_i^{(0)} + \mathbf{W}_{:,i}^{(1)\top} \mathbf{h}^{(1)}) \quad \forall i.$$

$$\mathbf{v} \sim \mathcal{N}(\mathbf{v}; \mathbf{b}^{(0)} + \mathbf{W}^{(1)\top} \mathbf{h}^{(1)}, \boldsymbol{\beta}^{-1})$$

$$\mathbb{E}_{\mathbf{v} \sim p_{\text{자료}}} \mathbb{E}_{\mathbf{h}^{(1)} \sim p^{(1)}(\mathbf{h}^{(1)} | \mathbf{v})} \log p^{(2)}(\mathbf{h}^{(1)})$$

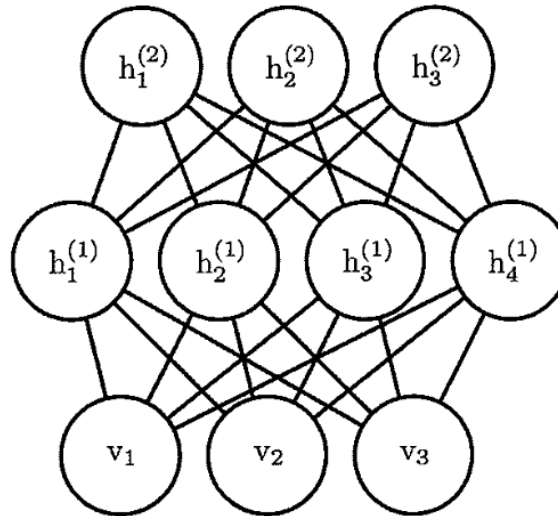
$$\mathbf{h}^{(1)} = \sigma(\mathbf{b}^{(1)} + \mathbf{v}^\top \mathbf{W}^{(1)}),$$

$$\mathbf{h}^{(l)} = \sigma(\mathbf{b}_i^{(l)} + \mathbf{h}^{(l-1)\top} \mathbf{W}^{(l)}), \quad \forall l \in 2, \dots, m.$$

20.4 심층 볼츠만 기계

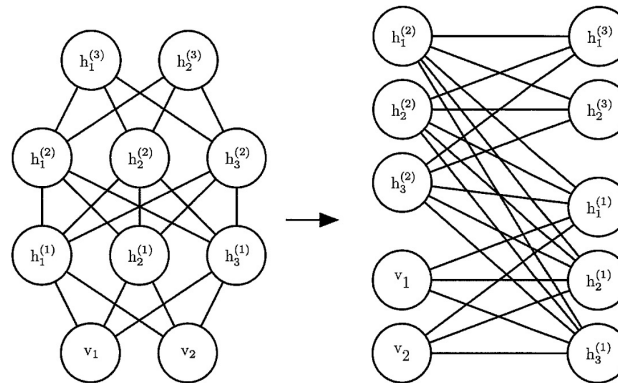
$$P(\mathbf{v}, \mathbf{h}^{(1)}, \mathbf{h}^{(2)}, \mathbf{h}^{(3)}) = \frac{1}{Z(\boldsymbol{\theta})} \exp(-E(\mathbf{v}, \mathbf{h}^{(1)}, \mathbf{h}^{(2)}, \mathbf{h}^{(3)}; \boldsymbol{\theta})).$$

$$E(\mathbf{v}, \mathbf{h}^{(1)}, \mathbf{h}^{(2)}, \mathbf{h}^{(3)}; \boldsymbol{\theta}) = -\mathbf{v}^\top \mathbf{W}^{(1)} \mathbf{h}^{(1)} - \mathbf{h}^{(1)\top} \mathbf{W}^{(2)} \mathbf{h}^{(2)} - \mathbf{h}^{(2)\top} \mathbf{W}^{(3)} \mathbf{h}^{(3)}.$$



20.4 심층 볼츠만 기계

$$P(v_i = 1 | \mathbf{h}^{(1)}) = \sigma(\mathbf{W}_{i,:}^{(1)} \mathbf{h}^{(1)}),$$



$$P(h_i^{(1)} = 1 | \mathbf{v}, \mathbf{h}^{(2)}) = \sigma(\mathbf{v}^\top \mathbf{W}_{:,i}^{(1)} + \mathbf{W}_{i,:}^{(2)} \mathbf{h}^{(2)}),$$

$$P(h_k^{(2)} = 1 | \mathbf{h}^{(1)}) = \sigma(\mathbf{h}^{(1)\top} \mathbf{W}_{:,k}^{(2)}).$$

20.5 실숫값 자료에 대한 볼츠만 기계

- 원래 볼츠만 기계는 이진 자료에 사용할 목적으로 개발되었다.
- 그러나 이미지나 음성을 모형화하는 등의 여러 응용에서는 실숫값들에 관한 확률분포를 표현할 수 있어야한다.

20.5.1 가우스-베르누이 RBM

$$p(\mathbf{v}|\mathbf{h}) = \mathcal{N}(\mathbf{v}; \mathbf{W}\mathbf{h}, \boldsymbol{\beta}^{-1}).$$

$$\log \mathcal{N}(\mathbf{v}; \mathbf{W}\mathbf{h}, \boldsymbol{\beta}^{-1}) = -\frac{1}{2}(\mathbf{v} - \mathbf{W}\mathbf{h})^\top \boldsymbol{\beta}(\mathbf{v} - \mathbf{W}\mathbf{h}) + f(\boldsymbol{\beta})$$

$$\frac{1}{2}\mathbf{h}^\top \mathbf{W}^\top \boldsymbol{\beta} \mathbf{W}\mathbf{h}$$

$$\frac{1}{2}h_i \sum_j \beta_j W_{j,i}^2.$$

$$E(\mathbf{v}, \mathbf{h}) = \frac{1}{2}\mathbf{v}^\top (\boldsymbol{\beta} \odot \mathbf{v}) - (\mathbf{v} \odot \boldsymbol{\beta})^\top \mathbf{W}\mathbf{h} - \mathbf{b}^\top \mathbf{h}.$$

20.6 합성곱 볼츠만 기계

- 이미지와 같은 격자 형태의 데이터를 처리하기 위해 합성곱 연산을 사용하는 볼츠만 기계의 확장형

20.7 구조적 출력 또는 순차열 출력을 위한 볼츠만 기계

- 복잡한 출력 구조(예: 순차열 또는 트리 구조)를 가진 문제를 처리하기 위해 설계된 볼츠만 기계의 변형형

20.8 기타 볼츠만 기계

- 훈련 판정기준을 달리 두어서 확장할 수 있음
- 실제 응용에 쓰이는 대부분의 볼츠만 기계의 에너지 함수에는 이차 상호작용만 있음

20.9 확률적(무작위) 연산에 대한 역전파

$$y \sim \mathcal{N}(\mu, \sigma^2).$$

$$y = \mu + \sigma z.$$

$$\mathbf{y} \sim p(\mathbf{y}|\omega)$$

$$\mathbf{y} = f(\mathbf{z}; \omega)$$

20.9.1 이산 확률적 연산에 대한 역전파

$$\mathbf{y} = f(\mathbf{z}; \boldsymbol{\omega}).$$

$$\mathbb{E}_{\mathbf{z}}[J(\mathbf{y})] = \sum_{\mathbf{y}} J(\mathbf{y}) p(\mathbf{y}),$$

$$\partial \mathbb{E} \frac{[J(\mathbf{y})]}{\partial \boldsymbol{\omega}} = \sum_{\mathbf{y}} J(\mathbf{y}) \frac{\partial p(\mathbf{y})}{\partial \boldsymbol{\omega}}$$

$$= \sum_{\mathbf{y}} J(\mathbf{y}) p(\mathbf{y}) \frac{\partial \log p(\mathbf{y})}{\partial \boldsymbol{\omega}}$$

$$\approx \frac{1}{m} \sum_{\mathbf{y}^{(i)} \sim p(\mathbf{y}), i=1}^m J(\mathbf{y}^{(i)}) \frac{\partial \log p(\mathbf{y}^{(i)})}{\partial \boldsymbol{\omega}}.$$

20.9.1 이산 확률적 연산에 대한 역전파

$$\begin{aligned} E_{p(\mathbf{y})} \left[\frac{\partial \log p(\mathbf{y})}{\partial \boldsymbol{\omega}} \right] &= \sum_{\mathbf{y}} p(\mathbf{y}) \frac{\partial \log p(\mathbf{y})}{\partial \boldsymbol{\omega}} \\ &= \sum_{\mathbf{y}} \frac{\partial p(\mathbf{y})}{\partial \boldsymbol{\omega}} \\ &= \frac{\partial}{\partial \boldsymbol{\omega}} \sum_{\mathbf{y}} p(\mathbf{y}) = \frac{\partial}{\partial \boldsymbol{\omega}} 1 = 0 \end{aligned}$$

$$\begin{aligned} E_{p(\mathbf{y})} \left[(J(\mathbf{y}) - b(\boldsymbol{\omega})) \frac{\partial \log p(\mathbf{y})}{\partial \boldsymbol{\omega}} \right] &= E_{p(\mathbf{y})} \left[J(\mathbf{y}) \frac{\partial \log p(\mathbf{y})}{\partial \boldsymbol{\omega}} \right] - b(\boldsymbol{\omega}) E_{p(\mathbf{y})} \left[\frac{\partial \log p(\mathbf{y})}{\partial \boldsymbol{\omega}} \right] \\ &= E_{p(\mathbf{y})} \left[J(\mathbf{y}) \frac{\partial \log p(\mathbf{y})}{\partial \boldsymbol{\omega}} \right] \end{aligned}$$

$$b^*(\boldsymbol{\omega})_i = \frac{E_{p(\mathbf{y})} \left[J(\mathbf{y}) \frac{\partial \log p(\mathbf{y})^2}{\partial \omega_i} \right]}{E_{p(\mathbf{y})} \left[\frac{\partial \log p(\mathbf{y})^2}{\partial \omega_i} \right]}.$$

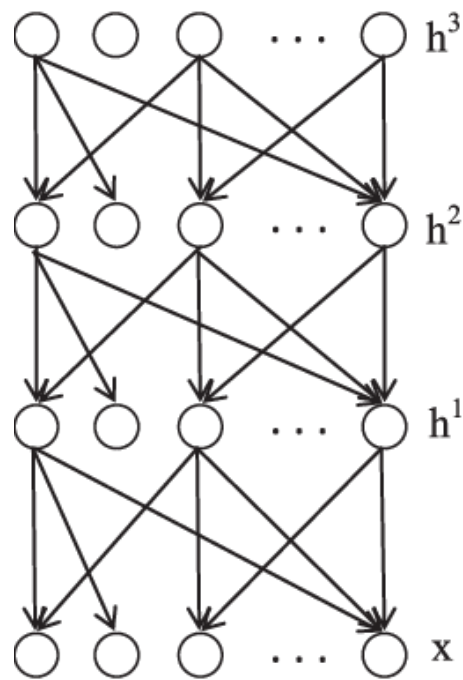
$$(J(\mathbf{y}) - b(\boldsymbol{\omega}))_i \frac{\partial \log p(\mathbf{y})}{\partial \omega_i}.$$

20.10 유향 생성망

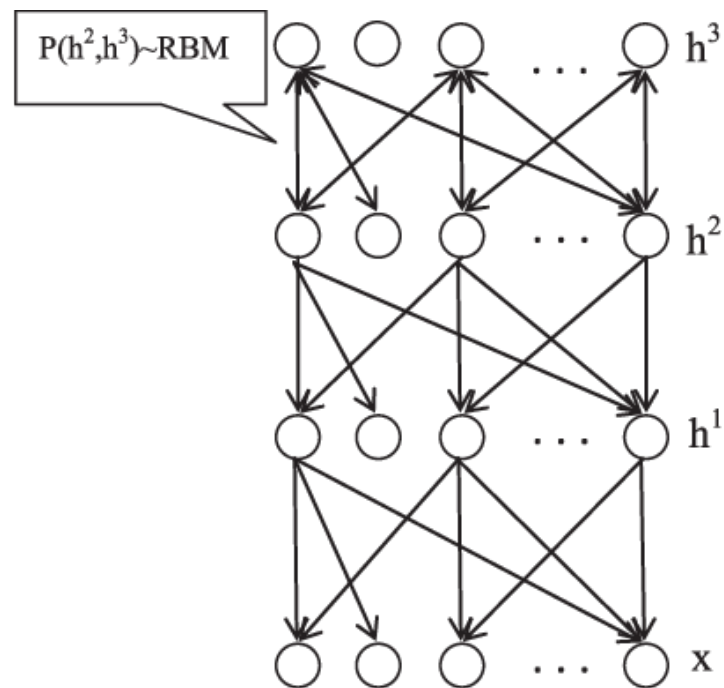
- 딥러닝 공동체와 관련이 있던 표준적인 유향 그래프 모형 몇가지를 살펴볼 예정

20.10.1 S자형 믿음망

$$p(s_i) = \sigma\left(\sum_{j < i} W_{j,i} s_j + b_i\right).$$



Sigmoid Belief Networks



Deep Belief Networks

20.10.2 미분 가능 생성자망

$$\boldsymbol{x} = g(\boldsymbol{z}) = \boldsymbol{\mu} + \boldsymbol{L}\boldsymbol{z}.$$

$$p_z(\boldsymbol{z}) = p_x(g(\boldsymbol{z})) \left| \det\left(\frac{\partial g}{\partial \boldsymbol{z}}\right) \right|.$$

$$p_x(\boldsymbol{x}) = \frac{p_z(g^{-1}(\boldsymbol{x}))}{\left| \det\left(\frac{\partial g}{\partial \boldsymbol{z}}\right) \right|}.$$

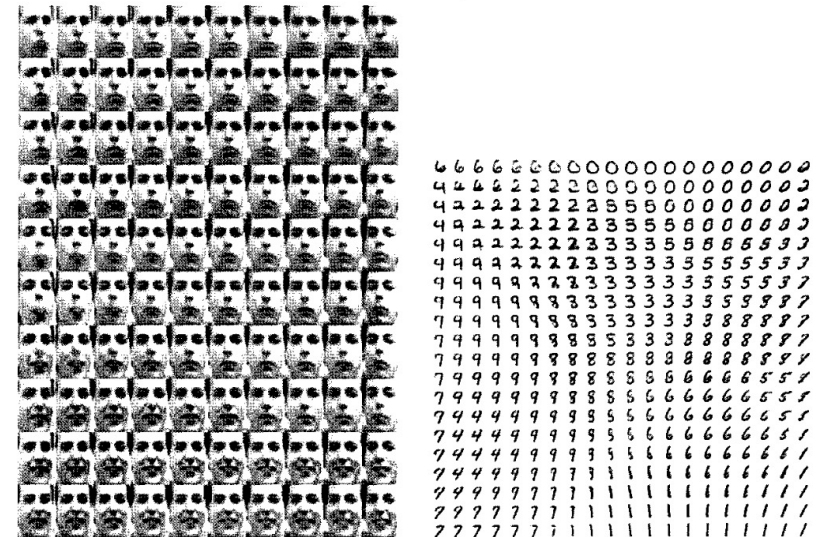
$$p(x_i = 1 | \boldsymbol{z}) = g(\boldsymbol{z})_i.$$

$$p(\boldsymbol{x}) = \mathbb{E}_{\boldsymbol{z}} p(\boldsymbol{x} | \boldsymbol{z}).$$

20.10.3 변분 자동부호기

$$\begin{aligned}\mathcal{L}(q) &= \mathbb{E}_{z \sim q(z|\mathbf{x})} \log p_{\text{모형}}(\mathbf{z}, \mathbf{x}) + \mathcal{H}(q(\mathbf{z}|\mathbf{x})) \\ &= \mathbb{E}_{z \sim q(z|\mathbf{x})} \log p_{\text{모형}}(\mathbf{x}|\mathbf{z}) - D_{\text{KL}}(q(\mathbf{z}|\mathbf{x}) \| p_{\text{모형}}(\mathbf{z})) \\ &\leq \log p_{\text{모형}}(\mathbf{x}).\end{aligned}$$

$$\mathcal{L}_k(\mathbf{x}, q) = \mathbb{E}_{\mathbf{z}^{(1)}, \dots, \mathbf{z}^{(k)} \sim q(\mathbf{z}|\mathbf{x})} \left[\log \frac{1}{k} \sum_{i=1}^k \frac{p_{\text{모형}}(\mathbf{x}, \mathbf{z}^{(i)})}{q(\mathbf{z}^{(i)}|\mathbf{x})} \right].$$



20.10.4 생성 대립 신경망(GAN)

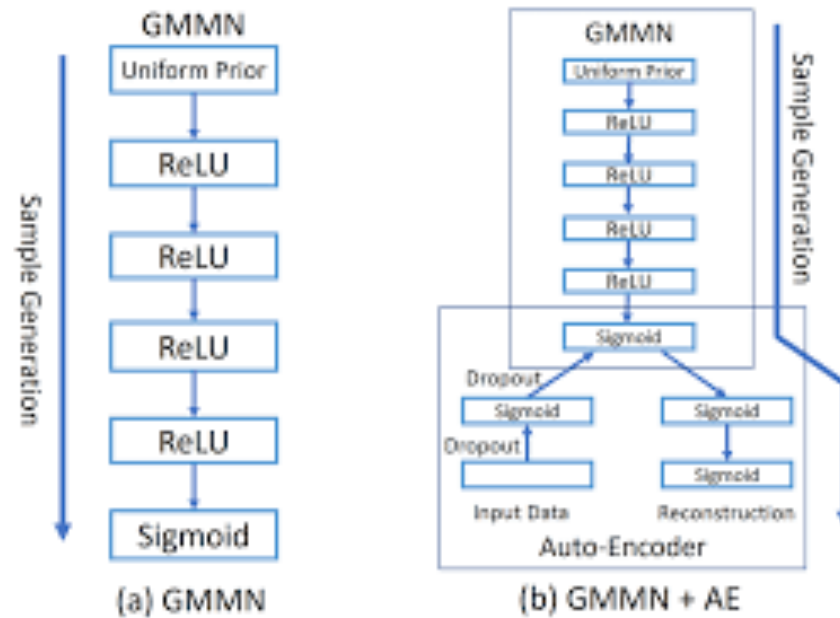
$$g^* = \operatorname{argmin}_g \max_d v(g, d).$$

$$v(\theta^{(g)}, \theta^{(d)}) = \mathbb{E}_{\mathbf{x} \sim p_{\text{자료}}} \log d(\mathbf{x}) + \mathbb{E}_{\mathbf{x} \sim p_{\text{모형}}} \log(1 - d(\mathbf{x})).$$

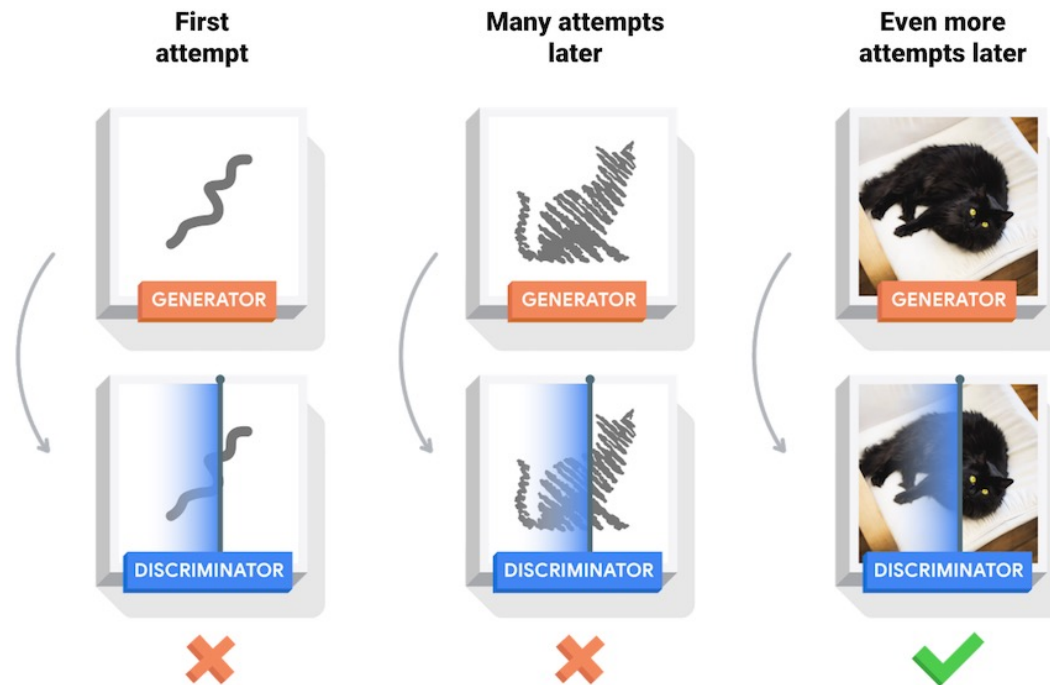


20.10.5 생성 적률 부합망

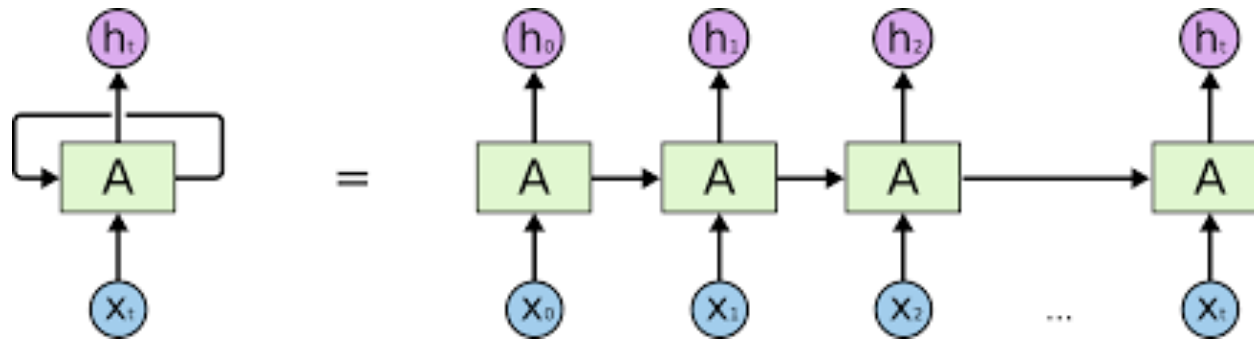
$$\mathbb{E}_x \prod_i x_i^{n_i}$$



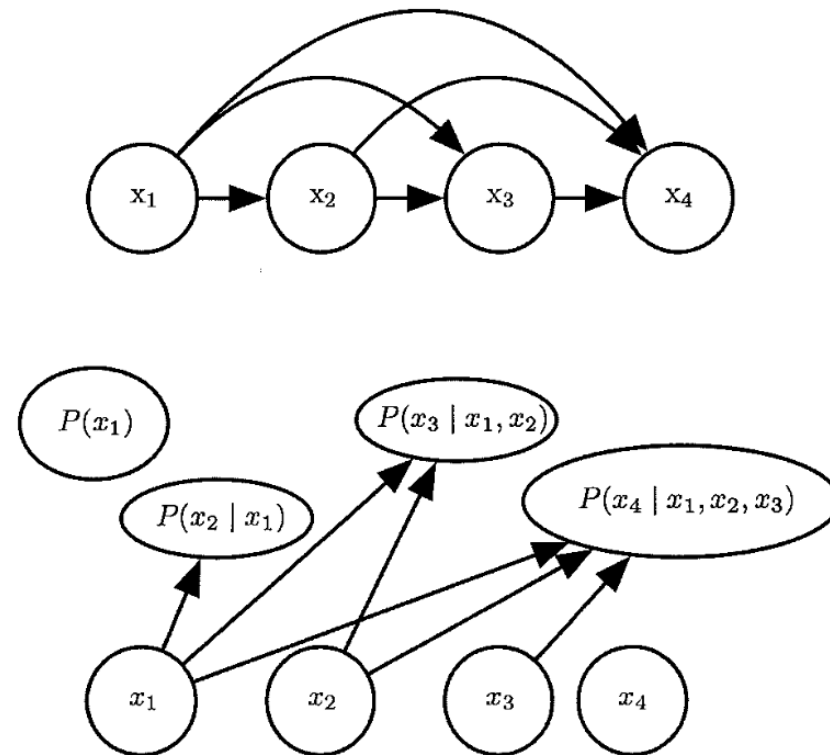
20.10.6 합성곱 생성망



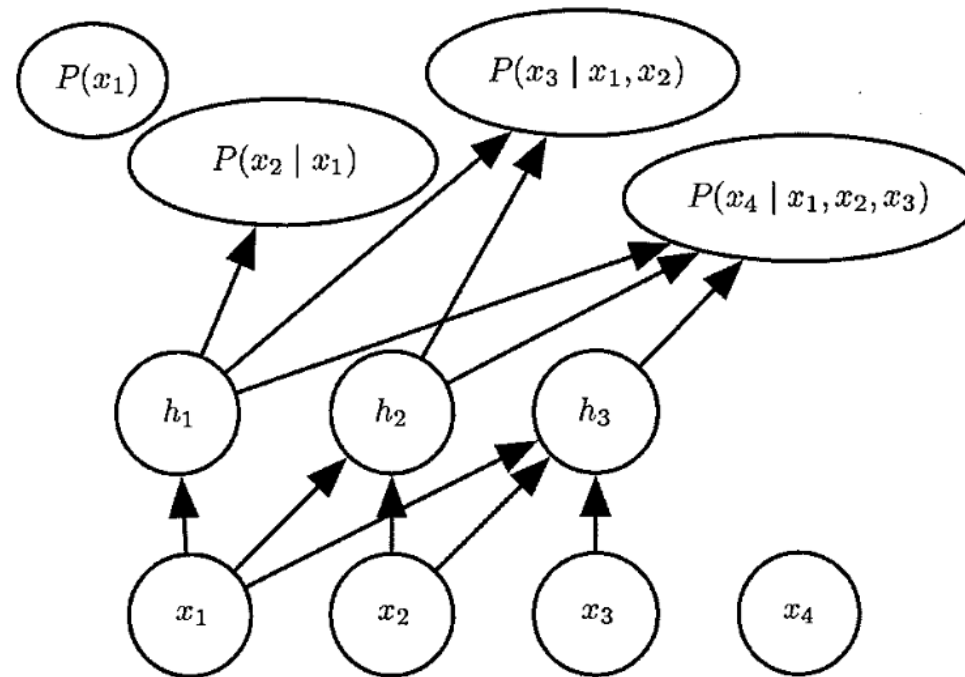
20.10.7 자기회귀망



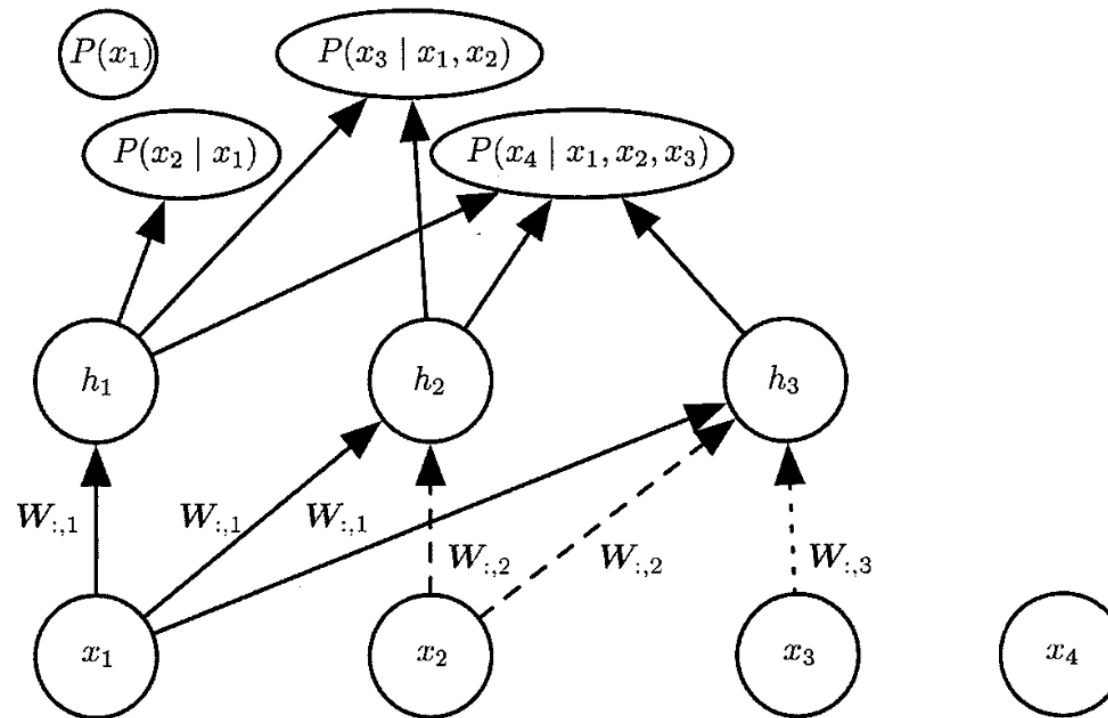
20.10.8 선형 자기회귀망



20.10.9 신경 자기회귀망



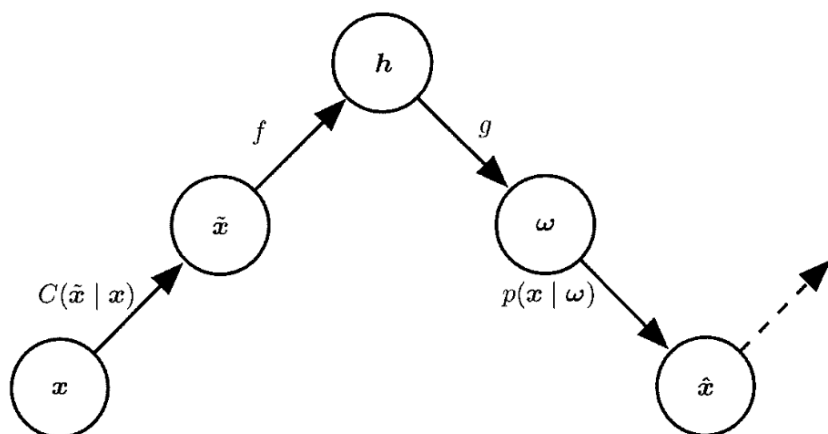
20.10.10 NADE



20.11 자동부호기의 표본추출

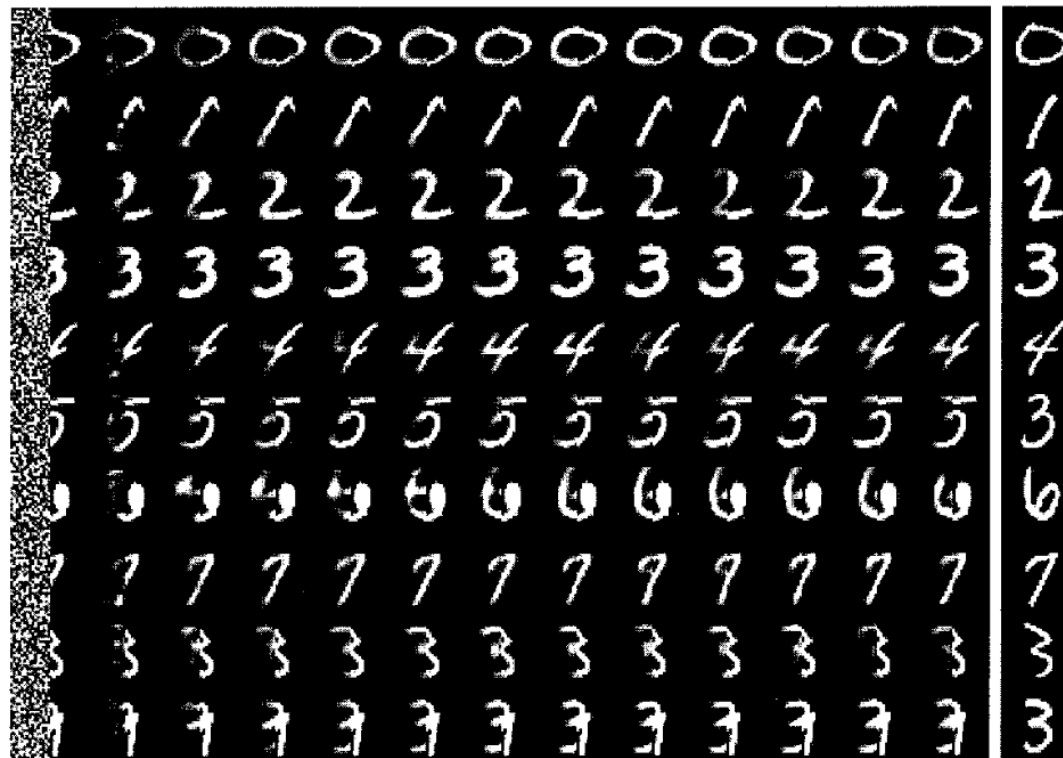
- 표본을 추출하기 위해서는 대부분의 autoencoder들은 MCMC 표집을 사용해야 함

20.11.1 임의의 잡음 제거 자동부호기를 위한 마르코프 연쇄



1. 이전 상태 \mathbf{x} 에서 시작해서 손상 입력(잡음)을 주입하고, $C(\tilde{\mathbf{x}}|\mathbf{x})$ 로부터 $\tilde{\mathbf{x}}$ 를 추출한다.
2. $\tilde{\mathbf{x}}$ 를 $\mathbf{h} = f(\tilde{\mathbf{x}})$ 로 부호화한다.
3. \mathbf{h} 를 복호화해서 $p(\mathbf{x}|\boldsymbol{\omega} = g(\mathbf{h})) = p(\mathbf{x}|\tilde{\mathbf{x}})$ 의 매개변수 $\boldsymbol{\omega} = g(\mathbf{h})$ 를 구한다.
4. $p(\mathbf{x}|\boldsymbol{\omega} = g(\mathbf{h})) = p(\mathbf{x}|\tilde{\mathbf{x}})$ 에서 다음 상태 \mathbf{x} 를 추출한다.

20.11.2 고정과 조건부 표집



20.12 생성 확률적 신경망

